

بررسی عمق نفوذ کربن و جریان گاز در فرایند کربن دهی گازی توسط یک مدل عددی سه بعدی

فریبهرز قره‌ی قهی

استادیار گروه مهندسی مواد، دانشگاه آزاد اسلامی مجلسی

چکیده

در این مقاله عمق نفوذ کربن از روی سطح قطعه و نحوه جریان گاز در داخل کوره کربن دهی گازی توسط یک مدل عددی سه بعدی در کوره مداوم فشاری با شکل هندسه پیچیده مورد بررسی قرار گرفت. برای محاسبه عمق نفوذ کربن، با استفاده از مدل ریاضی، مقدار گردایان کربن در سطح فولاد به دست آمد. علاوه بر آن مدل توانایی پیشگویی نحوه جریان گاز در داخل کوره و چگونگی توزیع درجه حرارت و توزیع جرم واکنش دهنده‌های گازی را دارا است. برای این منظور معادلات حاکم بر فرایند شامل معادله پیوستگی و معادلات حاکم بر انتقال موتمم، حرارت و جرم واکنش دهنده‌ها و شرایط مرزی مناسب با شرایط کار کوره با توجه به فرایند ارائه شد. چون معادلات حاکم بر فرایند به شکل مشتقات جزیی غیر خطی هستند، از روش المان حجمی بر مبنای تفاضل محدود و انطباق محورهای مختصات برای تبدیل معادلات حاکم به معادلات جبری استفاده شد. سپس معادلات جبری برای روش SIMPLER حل شد.

اعتبار و صحت مدل عددی ارائه شده در این بررسی، با مقایسه عمق نفوذ کربن محاسبه شده از مدل عددی و نتایج آزمایشگاهی منتشر شده مشخص شد. از این مقایسه معلوم شد که تطبیق نتایج محاسبه شده با داده‌های آزمایشگاهی خوب است و مدل قادر به محاسبه نتایج صحیح با دقت بالا در کوره‌های کربن دهی گازی مداوم می‌باشد. بنابراین از این مدل می‌توان در طراحی و به کار گیری کوره‌های کربن دهی گازی مداوم استفاده نمود.

واژه‌های کلیدی

کربن دهی گازی، مدل عددی، سختگردانی سطحی، جریان گاز، نفوذ کربن.

دفعی و غیره استفاده می‌شود. کوره‌های کربن دهی گازی به دو دسته مداوم و منقطع تقسیم‌بندی می‌گردند. در کوره فشاری مداوم قطعات مورد عملیات بر روی قیدها یا بر روی سبدهای مخصوص بر روی سینی قرار می‌گیرند. نحوه عمل بارگیری و تخلیه بدین صورت است که اولین سینی قطعات توسط یک فشار دهنده مکانیکی به داخل کوره هل داده می‌شود و همزمان تمام سینی‌های داخل کوره به یک اندازه رو به جلو جابه‌جا شده و نهایتاً یک سینی از انتهای کوره خارج می‌شود. در کوره‌های مدرن امروزی تمام عملیات کنترل و زمان‌بندی باز شدن در، هل دادن، و سریع سرد کردن (کوئنچ) به طور تمام خودکار توسط

۱- مقدمه

کربن دهی گازی یک روش عملیات حرارتی است که از آن برای سخت کردن سطح قطعات فولادی کم کربن استفاده می‌شود. در این روش، کربن حاصله از تجزیه گاز متان در درجه حرارتی بالای دمای بحرانی Ac (معمولًاً بین 850 تا 950 درجه سانتیگراد) بر روی سطح قطعه نشسته و در عمق آن نفوذ می‌کند. بر اثر نفوذ کربن و تشکیل کاربید در سطح قطعه، سختی و مقاومت به سایش قطعه افزایش یافته، در صورتیکه عمق قطعه از نظر خواص مکانیکی تغییر نمی‌کند^[۱]. از این فرایند در صنایع گوناگون مانند صنایع خودرو، صنایع ماشین سازی، صنایع

کربن به سمت داخل قطعه است. به طور معمول عمل افزودن گازهای مختلف به درون کوره در مناطق مختلف کوره متفاوت بوده و این امر باید در نظر گرفته شود.

در فرایند کربن‌دهی گازی تعداد زیادی از پدیده‌های فیزیکی و شیمیایی نظیر نحوه جریان گاز، انتقال جرم و انتقال حرارت، انجام واکنش‌های شیمیایی و نفوذ کربن از سطح به عمق قطعه همزمان با هم انجام می‌شوند. به طور کلی این مراحل را می‌توان به شرح زیر تقسیم‌بندی نمود:

- ۱- انتقال واکنش دهنده‌ها از توده گاز حامل به سطح جامد
- ۲- جذب سطحی واکنش دهنده‌ها
- ۳- واکنش شیمیایی
- ۴- دفع سطحی محصولات گازی
- ۵- انتقال محصولات فاز گازی از سطح جامد به توده گاز حامل

چون واکنش‌های شیمیایی در فصل مشترک انجام می‌شوند، معمولاً سرعت انجام فرایند به سرعت مرحله انجام واکنش‌های شیمیایی و سرعت مرحله انتقال واکنش دهنده‌ها به فصل مشترک جامد و گاز استگی دارد.

۲- واکنش‌های شیمیایی فرایند کربن‌دهی

در کوره‌های کربن‌دهی گازی واکنش اصلی کربن‌دهی به صورت زیر می‌باشد [۱-۴]:



با بررسی مقالات منتشر شده [۲ و ۳] به خوبی مشخص شده که فرایند کربن‌دهی سریعاً توسط تجزیه CO به صورت زیر انجام می‌شوند:



به هر حال، در شرایط کاری کوره، پتانسیل اصلی برای فرایند کربن‌دهی توسط گاز متان مطابق با دو واکنش زیر فراهم می‌گردد [۳ و ۵]:

اپراتور کوره با تنظیم زمان سیکلی بین ورود دو سینی متوالی به کوره انجام می‌شوند. معمولاً طول کوره به اندازه ۱۵ تا ۳۰ سینی مناسب با زمان عملیات کربن‌دهی می‌باشد؛ هر چقدر زمان کربن‌دهی زیادتر باشد طول کوره هم باید بیشتر باشد. معمولاً زمان سیکل کاری بین ۹۰ تا ۱۲۰ دقیقه بسته به عمق نفوذ سختی در قطعه، نرخ تولید و طول مفید کوره دارد [۲].

برای بهینه سازی فرایند کربن‌دهی، کوره‌های فشاری مدرن به سه تا پنج قسمت تقسیم‌بندی شده و دمای هر قسمت توسط ترموکوپل مستقل کنترل می‌شود. برای هر قسمت به طور جداگانه یک ورودی برای گاز حامل و گاز واکنش دهنده در نظر گرفته شده است. جهت چرخش گاز در داخل کوره، عموماً مناطق کربن‌دهی با یک یا چند فن تجهیز شده‌اند، تا توزیع گاز یکنواخت باشد. مناطق کربن‌دهی مجاور هم توسط جداره کمانی شکل جدا شده که این سبب کاهش سطح مقطع کوره در این نواحی می‌گردد.

استراتژی به کار گیری کوره شامل سه منطقه زیر می‌باشد:
- استفاده از منطقه احتراق برای گرم کردن قطعات تا دمای کربن‌دهی مناسب.

- استفاده از منطقه میانی برای انجام فرایند کربن‌دهی.
- استفاده از آخرین منطقه برای تنظیم حداکثر مقدار کربن بر روی سطح.

دمای منطقه نهایی از دمای مناطق دیگر کوره کمتر است و این امر به دلیل کاهش اعوجاج قطعات در طول عملیات کوئنچ کردن می‌باشد. جهت گرم کردن قطعات سرد بدون کربن‌زدایی در منطقه اول، پتانسیل شیمیایی کم کربن مطلوب بوده، در صورتی که پتانسیل شیمیایی کربن در منطقه کربن‌دهی بیشتر و در منطقه آخر کمتر می‌باشد [۳ و ۴].

در مورد به کار گیری کوره برای رسیدن به یک عمق سختی مشخص بر روی قطعه، همچنین رسیدن به نرخ تولید مطلوب باید در محلهای مناسب گاز طبیعی و یا هوا به مقدار لازم افزوده شود و لازمه این امر دانستن نحوه جریان گاز در داخل کوره و چگونگی انتقال کربن از گاز به سطح قطعه و نفوذ

و I تنسور یکه می باشند.

معادله بقای انرژی:

$$(\rho v).C_p \nabla T = \nabla.(k \nabla T) \quad (9)$$

که T درجه حرارت، k ضریب هدایت و C_p ظرفیت گرمای ویژه در فشار ثابت می باشند.

معادله بقای جرم:

$$(\rho v).\nabla w_i = \nabla.\left[\rho D_i \nabla w_i + D_i^T \nabla \ln T\right] \quad (10)$$

که D_i ضریب نفوذ، w_i جرم جزیی عنصر i در ترکیب گاز می باشند. دومین جمله در سمت راست معادله بالا، بیانگر اثر نفوذ حرارتی (Sort Effect) می باشد. این جمله نشانگر انتقال جرم در اثر اختلاف درجه حرارت است.

$$D_i^T = \rho D_i w_i w_c \alpha^T \quad (11)$$

که α و w_c به ترتیب فاکتور نفوذ حرارتی و جرم جزیی گاز حامل می باشند.

در این مدل، برای محاسبه تغییرات چگالی بدلیل تغییرات دما از معادله گاز کامل استفاده شده است.

$$\rho = \frac{MP}{RT} \quad (12)$$

که R ثابت گازها و M جرم مولکولی گاز می باشد. همچنین برای تعیین جرم مولکولی گاز از فرمول زیر استفاده می گردد:

$$M = \sum_i^n M_i x_i \quad (13)$$

که x_i مول جزیی و M_i جرم مولکولی عنصر i در ترکیب گاز می باشند.

برای حل معادلات ذکر شده با شرایط مرزی مناسب باید که خواص گاز شناخته شده باشند. در این تحقیق، از تغییرات دانسیته بر اثر تغییرات در تعداد مول واکنش دهندهها و محصولات صرف نظر شده است زیرا درصد گاز طبیعی به هوا و گاز اندو بسیار کم است. مول جزیی واکنش دهندهها بر روی خواص دیگر نظیر ویسکوزیته، ضریب هدایت و ضریب نفوذ گاز در کوره اثر دارد. ویسکوزیته گاز از تئوری چاپمن-انسکوگ بصورت زیر محاسبه می شود [6]:



که نتیجه چهار معادله (2) تا (5) معادله کلی (1) می باشد.

در این مدل رفتار گاز ایده‌آل برای گازها در نظر گرفته خواهد شد.

۳- مدل ریاضی

در این بخش، یک مدل ریاضی از جریان گاز، انتقال حرارت و انتقال جرم واکنش دهنده‌ها در داخل کوره ارائه می گردد. مدل ریاضی شامل معادلات ریاضی حاکم بر فرایند کربن دهی گازی و شرایط مرزی بوده و از طرف دیگر واکنش‌های پیچیده شیمیایی فرایند کربن دهی نیز باید در نظر گرفته شود. چون معادلات ریاضی حاکم بر فرایند‌های انتقال در کوره کربن دهی به شکل مشتقات جزیی غیر خطی می باشند بنابراین در ک صلح از مدل ریاضی برای شناخت فرایند و حل معادلات بسیار مهم است. در این تحقیق انتخاب یک مدل ریاضی بر اساس فیزیک فرایند‌های انتقال و بیان آنها توسط معادلات حاکم توضیح داده می شود.

معادلات حاکم

معادلات حاکم بر جریان گاز در داخل کوره بصورت زیر می باشند [6]:

معادله پیوستگی:

$$\nabla.(\rho v) = 0 \quad (6)$$

که در معادله بالا ρ چگالی گاز و v بردار سرعت گاز می باشند.

معادله بقای مومنت:

$$\nabla.(\rho v v) = -\nabla P + \nabla.\tau + \rho g \quad (7)$$

که در این معادله P فشار گاز، g شتاب نیروی جاذبه زمین و τ تنسور تنش برشی بصورت زیر است:

$$\tau = \mu [\nabla v + (\nabla v)^T] - \frac{2}{3} \mu (\nabla v) I \quad (8)$$

که در معادله بالا ∇^T ترانسپوز $(\partial v)^T$ ، μ ویسکوزیته گاز

پدیده‌های انتقال را بدین صورت نوشت:

معادله پیوستگی:

$$\nabla^* \cdot (\rho^* v^*) = 0 \quad (17)$$

معادله بقای مومنم:

$$\nabla^* \cdot (\rho^* v^* v^*) = -\nabla^* P^* + \frac{1}{Re} \nabla^* \cdot \tau + (1 + \chi T^*)^{-1} \frac{Gr}{Re^2} T^* \quad (18)$$

معادله بقای انرژی:

$$(\rho^* v^*) \nabla^* T^* = \frac{1}{Pr \cdot Re} \nabla^* \cdot (k^* \nabla^* T^*) \quad (19)$$

معادله بقای جرم:

$$(\rho^* v^*) \nabla^* w_i^* = \frac{1}{Re \cdot Sc} \nabla^* \left[\frac{\rho^* D_i^* \nabla^* w_i^*}{\rho^* D_i^* w_i^* \alpha^* \nabla^* \ln T^*} \right] \quad (20)$$

از معادلات بالا به خوبی دیده می‌شود که پدیده‌های انتقال در کوره کربن‌دهی گازی توسط پنج گروه بدون بعد مشخص می‌گردند: عدد رینولد (Re=p₀u₀D_h/μ₀) ، عدد پرانتل (Pr=C_pρ₀/k) ، عدد اشمیت (Sc=p₀μ₀/D₁₀) ، عدد گرافت (Gr=p₀²ΔT_gD_h³/μ₀²T₀) که هر کدام از اعداد بالا نشان دهنده مفهوم وضعیت فیزیکی پدیده‌های انتقال در فرایند می‌باشد. به هر حال برای حل معادلات بالا به شرایط مرزی نیاز می‌باشد که در زیر، شرایط مرزی توضیح داده می‌شوند.

۴- شرایط مرزی

یک شرط مرزی به صورت یک متغیر یا مشتق آن بر روی فضای محاسباتی تعریف می‌گردد. برای ارائه یک مدل صحیح از کوره کربن‌دهی گازی باید که فضای محاسباتی به درستی تعریف شود. در مدل ارائه شده در این تحقیق، کوره مطابق با شکل (۱) از قسمت‌های پیشگرم، منطقه کربن‌دهی (واکنش‌های شیمیایی) و منطقه یکنواختی تشکیل شده است. در کوره قسمت‌های دمای ثابت ورودی و خروجی تنها برای این منظور در نظر گرفته می‌شوند تا اطمینان حاصل گردد که گاز در ابتدای منطقه واکنش و در قسمت خروج در منطقه پیشرفت قرار دارد بنابراین طول قسمت خروجی طوری در نظر گرفته می‌شود که

$$\mu = \sum_1^n \frac{\mu_i x_i}{\sum_j^n \phi_{ij} x_i} \quad (14)$$

که در معادله بالا Φ_{ij} از رابطه زیر محاسبه می‌گردد:

$$\phi_{ij} = \frac{1}{\sqrt{8}} \left(1 + \frac{M_i}{M_j} \right)^{-1/2} \left[1 + \left(\frac{\mu_i}{\mu_j} \right)^{1/2} + \left(\frac{M_j}{M_i} \right)^{1/4} \right]^2 \quad (15)$$

گرمای ویژه در فشار ثابت (C_p) برای گاز کوره ثابت و مستقل از درجه حرارت در نظر گرفته شده زیرا تغییرات آن در شرایط کار کوره بسیار ناچیز است (کمتر از ۳ درصد).

حال که معادلات حاکم بر پدیده‌های انتقال در داخل کوره مشخص گردید، می‌توان با آنالیز ابعادی تعداد متغیرهای سیستم را کاهش داد. در حقیقت آنالیز ابعادی موقعی بکار می‌رودند که روابط ریاضی بسیار پیچیده و یا ناشناخته است. این روش در حقیقت، روابط منطقی میان متغیرهای یک گروه بی بعد را نشان می‌دهد. در اینجا، هدف اصلی از بکارگیری آنالیز ابعادی، کاهش پیچیدگی مسئله و کاهش تعداد متغیرهای سیستم است. همچنین بکارگیری متغیرهای بدون بعد راندمان و دقت محاسبات را افزایش می‌دهد. گروه‌های بی بعد از روش‌های گوناگونی بدست می‌آیند، که در اینجا از روش بدون بعد ساختن معادلات انتقال استفاده شده است. متغیرهای مرجعی که استفاده شده‌اند عبارتند از: قطر معادل D_h، سرعت میانگین گاز ورودی v_{in} ، چگالی ρ_0 ، ضریب هدایت k_0 ، ضریب نفوذ D_i و مول جرمی واکنش دهنده w_{io} در شرایط ورودی گاز. با استفاده از مشخصه‌های نامبرده متغیرهای بدون بعد بصورت زیر نوشتند:

$$\begin{aligned} \mu^* &= \frac{\mu}{\mu_0} & \rho^* &= \frac{\rho}{\rho_0} & \nabla^* &= \frac{\nabla}{1/D_h} \\ k^* &= \frac{k}{k_0} & T^* &= \frac{T - T_w}{T_o - T_w} & v^* &= \frac{v}{u_0} \\ D_i^* &= \frac{D_i}{D_{i0}} & w_i^* &= \frac{w_i}{w_{io}} \\ P^* &= \frac{P}{\rho_0 \mu_0^2} = \frac{p - \rho_0 g y}{\rho_0 \mu_0^2} \end{aligned} \quad (16)$$

با جایگذاری متغیرهای بی بعد بالا در معادلات (۶، ۷، ۹، ۱۰)، می‌توان معادلات بدون بعد حاکم بر

هدایت، جابجایی و تشعشع در انتقال حرارت در جداره‌های کوره وجود دارد. در هر نقطه بر روی جداره یک موازنۀ حرارتی برای هر سه شیوه باید در نظر گرفته شود. به این دلیل در ارائه یک مدل صحیح ملاحظات خاصی برای شرایط مرزی معادله حرارت باید رعایت شود. در این مدل برای برداشتن قدم اول انتقال حرارت توسط هدایت و همچنین انتقال حرارت توسط جابجایی از جداره کوره در نظر گرفته نمی‌شود زیرا در این صورت فضای محاسباتی باید گسترش پیدا کرده و مدل بیش از حد انتظار پیچیده می‌گردد. به هر حال در جداره کوره موازنۀ انرژی توسط فرمول زیر انجام می‌گیرد:

$$q_{radiation} = -k \frac{\partial T}{\partial n} \Big|_{wall} \quad (21)$$

در بعضی از کوره‌های کربن دهی مخصوصاً کوره‌های آزمایشگاهی به علت نوع پوشش نسوز کوره می‌توان از انتقال حرارت بر روی جداره کوره توسط تشعشع صرف نظر نمود. برای پرهیز از گسیختگی درجه حرارت در دو لبه منطقه واکنش می‌توان دو منطقه گذرا در نظر گرفت که درجه حرارت در این دو منطقه به صورت خطی تغییر می‌کند. طول هر منطقه گذرا را میتوان حدود ۵ درصد طول منطقه واکنش در نظر گرفت.

شرایط مرزی معادله جرم واکنش دهنده ها

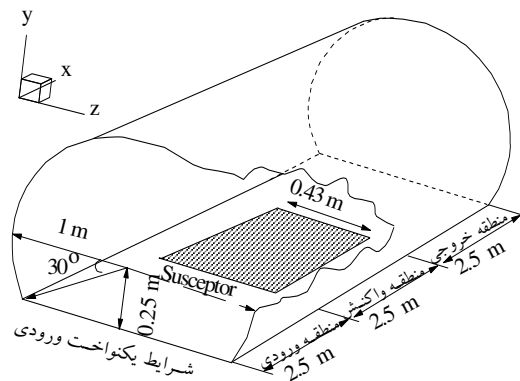
مول جزی واکنش دهنده متاب برای معادله انتقال جرم در ورودی یکنواخت و ثابت فرض شده است زیرا گاز قبل از ورودی به کوره به خوبی مخلوط می‌گردد. در خروجی فرض بر این است که پروفیل مول جزی کاملاً پیشرفتۀ می‌باشد. جداره‌های کوره در مقابل جرم نفوذ ناپذیر می‌باشند در نتیجه:

$$n_i [D_i \rho \nabla w_i + D_i^T \nabla \ln T] = 0 \quad (22)$$

همچنین نرخ انتقال کربن بر روی سطح قطعه از رابطه زیر بدست می‌آید:

$$n_i [D_i \rho \nabla w_i + D_i^T \nabla \ln T] = R \quad (23)$$

که در رابطه بالا R سرعت واکنش شیمیایی می‌باشد. معادلات ریاضی حاکم بر فرایندهای انتقال به همراه شرایط مرزی تشریح شده می‌باید در فضای پیچیده کوره حل گردد. از



شکل (۱): شکل هندسه کوره و شرایط کاری

تغییرات تمام متغیرها در آنجا بصورت توزیع کاملاً پیشرفتۀ باشد. شرایط مرزی برای معادلات مومنتم، حرارت و جرم واکنش دهنده‌ها به صورت زیر می‌باشد.

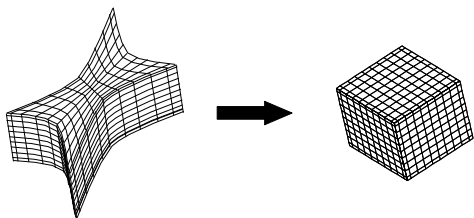
شرایط مرزی معادلات مومنتم

شرایط مرزی برای معادلات مومنتم عبارتند از: عدم هیچگونه لغزش گاز بر روی جداره‌های جامد کوره به عبارت دیگر $u=0$, $v=0$, $w=0$, پروفیل یکنواخت و پارabolیک در قسمت ورودی و نهایتاً پروفیل توزیع پیشرفتۀ در قسمت خروجی گاز.

شرایط مرزی معادله حرارت

در یک کوره کربن دهی گازی انتقال حرارت توسط سه شیوه هدایت، جابجایی و تشعشع صورت گرفته و هر سه شیوه باید در نظر گرفته شود. به هر حال فرموله کردن کامل انتقال حرارت و همچنین حل معادله کامل به نظر بسیار پیچیده و در حال حاضر غیر ممکن و خارج از موضوع تحقیق است. در معادلات ریاضی ارائه شده فرض بر این است که گاز داخل کوره به طور ایده‌آل ترانسپرنت است که با توجه به غلظت کم واکنش دهنده‌ها این فرض صحیح به نظر می‌رسد، چون گازهای نیتروژن و هیدروژن کاملاً ترانسپرنت می‌باشند. این فرضیات برای اعمال شرایط مرزی برای معادله حرارت بسیار مهم بوده و توجه به دو نکته مقابل هم یعنی دقت و سرعت در امر محاسبات باید در نظر گرفته شود.

در یک فرایند کربن دهی گازی اثرات ترکیبی از شیوه‌های



فضای محاسباتی فضای فیزیکی

شکل (۲): شماتیک انتقال از فضای فیزیکی به فضای محاسباتی

در روش BFC از یک سیستم محورهای منحنی الخط (x,y,z) که خطوط محورهای مختصات آن منطبق بر مرز فضای محاسباتی است استفاده می‌شود. این تکنیک قادر است که یک شکل هندسه پیچیده را در فضای فیزیکی (x,y,z) به یک شکل ساده در فضای محاسباتی (x,y,z) انتقال دهد. در فضای فیزیکی ۶ و ۱۱ گویا متغیرهای وابسته هستند که البته این متغیرها در فضای محاسباتی متغیرهای مستقل می‌باشند. یکی از مهمترین مزیتهای این روش این است که تمام مرزهای فیزیکی منطبق با محورهای مختصات منحنی الخط می‌باشد و بنابراین شرایط مرزی را می‌توان با دقت صحیحی اعمال نمود. این دقت، علاوه بر مزایای بسیار مهم می‌باشد زیرا در ناحیه مرزها گرادیان بزرگی از متغیرها وجود دارند و دقت در اعمال شرایط مرزی اثر مهمی بر روی دقت و صحت در نتایج محاسبه شده دارد.

روش BFC، نشان داده شده در شکل (۲)، سه مرحله دارد. ابتدا یک شکل هندسه پیچیده در فضای فیزیکی به یک شکل ساده در فضای محاسباتی منتقل می‌شود. سپس تمام معادلات ریاضی حاکم بر پدیده‌های انتقال بهمراه شرایط مرزی از فضای فیزیکی به فضای محاسباتی منتقل شده و در نهایت معادلات منتقل شده در فضای محاسباتی با استفاده از تکنیک حجم کنترل بر مبنای تفاضل محدود حل می‌گردد.

انتقال از فضای فیزیکی به فضای محاسباتی با ایجاد یک دسته نقاط مش همراه است که اصطلاحاً آن را تولید مش نیز می‌نامند. در واقع تولید مش اولین و مهمترین مرحله در حل معادلات ریاضی (که بصورت مشتقات جزئی هستند) می‌باشد

آنچایی که حل جبری برای معادلات مشتق جزئی غیر خطی وجود ندارد باید حتماً از روش‌های عددی استفاده نمود. بکار گیری یک روش عددی برای حل این معادلات در بخش بعدی توضیح داده می‌شود.

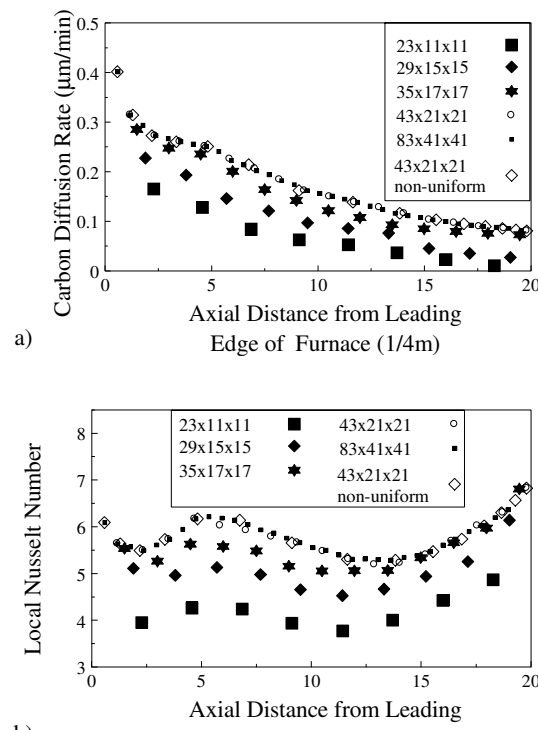
۵- روش حل عددی

در بخش‌های قبل، معادلات حاکم بر فرایندهای انتقال بهمراه شرایط مرزی در کوره‌های کربن دهی گازی تشریح شد. در اینجا نحوه حل این معادلات در فضای پیچیده کوره تشریح می‌شود. از آنجایی که حل جبری برای معادلات مشتق جزئی غیر خطی وجود ندارد حتماً باید از روش‌های عددی استفاده نمود و در نتیجه یک روش عددی برای حل این معادلات درنظر گرفته شده است. در این تحقیق، پدیده‌های انتقال در کوره‌های کربن دهی توسط روش انطباق محورهای مختصات (Body or Boundary Fitted Coordinate) BFC با استفاده CVFD از حجم کنترل بر مبنای تفاضل محدود (Control Volume Based Finite Difference) و غیر استگرد (Unstructured) مطالعه می‌شود. تعدادی از محققین [۷-۱۲] از روش BFC برای تحقیق و حل مسائل مختلف استفاده کرده‌اند. از اجزاء مختلف می‌توان از نحوه تولید مش نظری مشهای عمودی و غیر عمودی، استگرد (Staggered) و غیر استگرد (Unstructured)، استفاده از ترکیب‌های مختلف سرعت به عنوان مثال متغیرهای سرعت کارتزین، کوواریانت (Covariant) و کانترواریانت (Contervariant) و SIMPLE بالاخره استفاده از روش‌های هم‌خانواده (Semi Implicit Method for Pressure Linked Equations) نام برد. انتخاب مناسب هر یک از اجزاء ذکر شده به طبیعت جریان و پیچیدگی فضای محاسباتی بستگی دارد. بخارتر تعداد زیاد فرایندها و همچنین محدودیت نوشتاری در این قسمت تنها از آن دسته از روش‌های حل عددی که به این تحقیق بستگی دارد بررسی می‌شود. همچنین ترکیب اجزاء بکار رفته در این تحقیق یعنی به کار گیری BFC با استفاده از CVFD در فضای سه بعدی پیچیده کوره کربن دهی با توجه به دانش نویسنده روش بررسی نوینی می‌باشد.

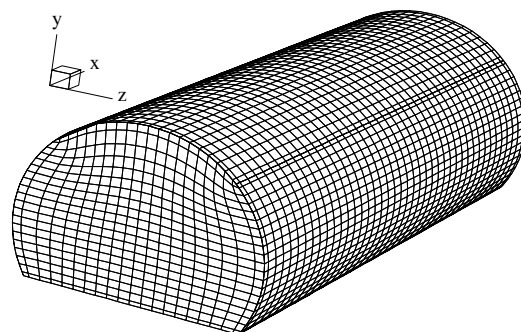
همکاران [۱۰۵] و محاسبات انجام شده توسط مدل ریاضی استیکل [۲] مقایسه خواهد شد. تشریح کوره جهت پیش‌بینی جریان گاز داخل کوره مداوم از اهمیت خاصی برخودار است. شکل هندسی کوره کربن دهی و شرایط مرزی کوره در شکل (۱) آورده شده است. در این شکل محور x ها و محور z ها بترتیب موازی و عمود بر جریان گاز بوده و محور y ها موازی با نیروی جاذبه زمین و در جهت خلاف آن می‌باشد. کوره از سه قسمت منطقه ورودی، منطقه واکنش و منطقه خروجی به طول ۷,۵ متر تشکیل شده است. در داخل کوره، برای هر منطقه مقدار کربن لازم توسط مدل قابل محاسبه بوده و گاز طبیعی و یا هوای اضافه لازم برای هر قسمت محاسبه می‌گردد.

صحت مدل

برای بررسی حساسیت نتایج بدست آمده نسبت به تعداد مشها و محاسبه خطای آنها، سیستمهای مختلف مش‌بندی و وابستگی نتایج به تعداد مش آزمایش شد. در این آزمایشات، کمترین و بیشترین تعداد مش در جهت محور x ها ب به ترتیب برابر با $\Delta x=0.77$ و $\Delta x=0.22$ انتخاب شد. دقیق محاسبات برای هر سیستم مش با مقایسه با نتایج محاسبات بدست آمده برای سیستم قبلی با تعداد مش کمتر ارزیابی شد. نتایج این آزمایشات در شکل (۳) نشان داده شده است. در این شکل بخوبی دیده می‌شود که سرعت انتقال کربن و عدد نسلت محاسبه شده در سیستم $35*17*17$ بشدت به تعداد مش وابسته بوده و همچنین اختلاف نتایج محاسبه شده در سیستمهای $43*21*21$ با $43*21*21$ با توزیع مش یکنواخت و $43*21*21$ با توزیع مش غیر یکنواخت با سیستم $83*43*43$ مش بسیار کم و در حدود کمتر از ۳ درصد می‌باشد. این اختلاف را می‌توان به مقدار خطای تفاضل میان مش‌ها نسبت داد. سیستم مش مورد قبول به گونه‌ای انتخاب شد که تغییرات عدد نسلت محاسبه شده برای مشهای کوچکتر نسبت به مشهای بزرگتر کمتر از ۳ درصد بود. با توجه به آزمایش‌های انجام شده، سیستم توزیع یکنواخت انتخاب شد و زمان لازم برای محاسبه یک سری از نتایج به دست آمده با استفاده از این سیستم بر روی پنتیوم پنج ۲۶۰۰ مگا هرتزهفت



شکل (۴): نتایج بدست آمده در سیستمهای مختلف مش‌بندی فضای کوره برای (a) سرعت نفوذ کربن و (b) عدد نسلت محاسبه شده

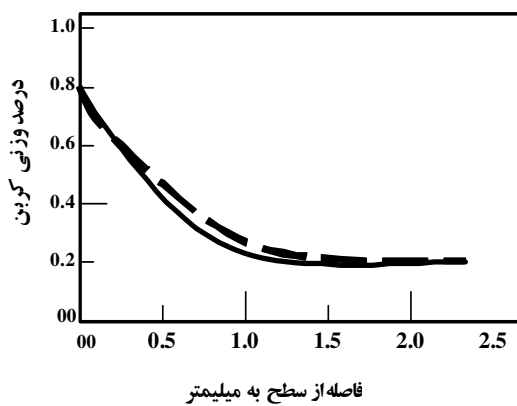


شکل (۵): سیستم توزیع یکنواخت مش در فضای کوره کربن دهی گازی زیرا انتخاب مش‌بندی مناسب اثر مهمی در صحت و راندمان حل عددی معادلات ریاضی حاکم بر پدیده‌های انتقال در کوره کربن دهی گازی دارد.

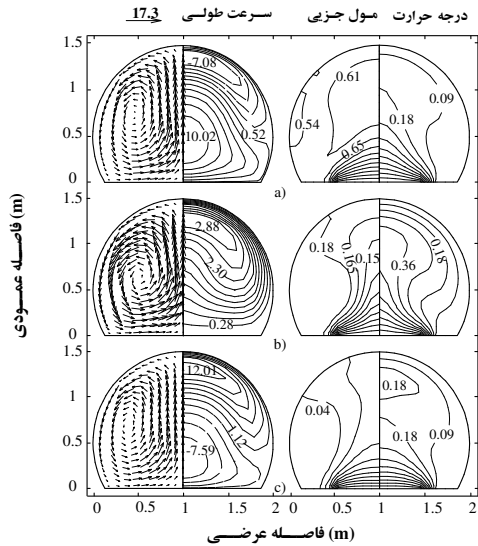
۶- نتایج و مباحث

شرایط کوره

در این تحقیق برای صحت مدل ریاضی نتایج به دست آمده از این مدل با نتایج به دست آمده از آزمایشات کولین و



شکل (۶): مقایسه نتایج محاسبه شده از مدل ریاضی (خط توپر) با نتایج به دست آمده از آزمایش (خط چین)



شکل (۷): نتایج محاسبه شده از مدل عددی برای بردارهای سرعت ثانویه و کنتورهای سرعتهای طولی، کنتورهای توزیع مول جزیی و درجه حرارت برای عدد رینولد ۱۰۰

درصد در سطح حدود ۳۸ دقیقه زمان لازم بود تا قطعه طول کوره را طی کند. با این شرایط مقدار کربن سطحی برای رسیدن قطعه به عمق سختی یک میلیمتر برابر 0.8 mm درصد بود. در این مطالعه اگر چه بیشتر تمرکز بر روی عمق نفوذ کربن و عدد نوسلت بر روی سطح قطعه کار می‌باشد، اما بررسی توزیع سرعت گاز، درجه حرارت و غلظت مواد واکنش دهنده در کوره جذابیت داشته و در تحلیل مکانیسم‌های انتقال حرارت

ساعت بود. شکل (۵) چگونگی توزیع مشاهده شده در این سیستم نشان می‌دهد.

در این تحقیق، صحت و دقت مدل ارائه شده با مقایسه بین نتایج محاسبه شده از مدل و اندازه‌گیری‌های به دست آمده از مقدار عمق نفوذ کربن در کوره ارزیابی شد. اگر چه این عقیده وجود داشت که مدل‌های عددی راندمان و دقت بیشتری نسبت به روش‌های آزمایشگاهی دارند. به هر حال این احساس نیز وجود داشت که یک مقایسه دقیق و کامل بین محاسبات انجام شده از این مدل و اندازه‌گیری‌های انجام شده در آزمایش، استفاده از مدل ارائه شده را حمایت می‌کند. برای این منظور، مقدار کربن نفوذی محاسبه شده از سطح قطعه توسط مدل ریاضی با داده‌های آزمایشگاهی در شکل (۶) نشان داده شده است. در این شکل خط توپر مقدار نتایج محاسبه شده و خط منقطع نتایج آزمایشگاهی را نشان می‌دهند. در این شکل دیده می‌شود، که تطابق بین نتایج آزمایشگاه با نتایج محاسبه شده از مدل خوب بوده و میانگین خطای محاسبه شده بین این دو حدود ۱۱ درصد است که این اختلاف ممکن است به خاطر استفاده از شرایط مرزی ایده‌آل برای معادلات حاکم بر پدیده‌های انتقال باشد. بطور کلی مطابقت نتایج به دست آمده از آزمایش با نتایج محاسبه شده از مدل ریاضی قابل قبول بوده و این نشان می‌دهد که از مدل ریاضی ارائه شده در این تحقیق می‌توان برای بررسی اثر پارامترهای کنترل کننده کوره نظری سرعت ورودی گاز حامل و مقدار درصد جزیی گاز احیایی، دمای کوره، و حتی درصد ترکیب گاز محافظت استفاده نمود.

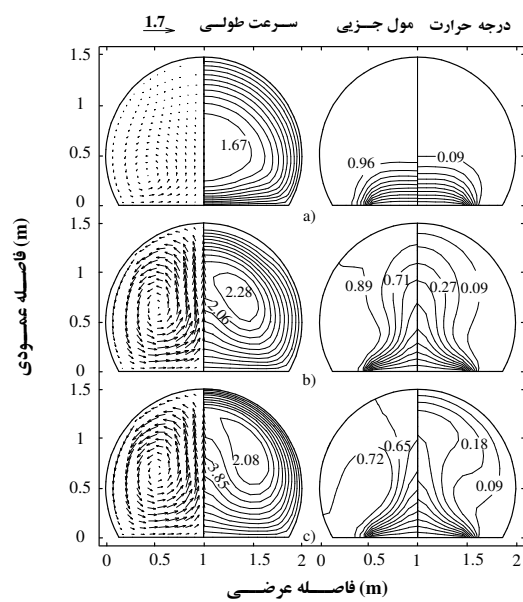
در مثال بررسی شده فولاد مورد استفاده برای سخت‌گردانی سطحی، فولاد ساده کربنی مطابق با استاندارد امریکایی AISI ۱۰۲۲ بود که عمق نفوذ مورد نظر یک میلیمتر در نظر گرفته شده بود که مقدار کربن نهایی در سطح فولاد بعد از عملیات حرارتی حدود 0.8 mm درصد و مقدار کربن در عمق یک میلیمتری حدود 0.4 mm درصد کربن می‌باشد. درجه حرارت کربن دهی 927°C درجه سانتیگراد در نظر گرفته شده بود و در آزمایش برای رسیدن درصد کربن اولیه از 0.22 mm درصد به

می باشد. در این شکل، کنتورها در منطقه مرکزی بالای کوره مخصوصاً در ابتدای منطقه واکنش خم شده‌اند. این بدان معنی است که گرادیان زیادتری در این منطقه به دلیل سرعت بالای جریان وجود دارد.

در شکل (۷) شماتیک جریان مخلوط (جابجایی آزاد و جابجایی اجباری) (Mixed Convection) نشان داده شده است. در بررسی اثر جریان گاز در داخل کوره، این موضوع که جریان مخلوط نقش بسیار مهمی را بر روی نشست کربن در سطح قطعه بازی می کند باید در نظر گرفته شود. نکته مهم در یکنواختی مقدار کربن رسوب داده شده بر روی سطح، پرهیز از هر گونه جریان ثانویه گاز بوده که جریان ثانویه نیز خود تحت تاثیر اختلاف درجه حرارت و وجود نیروی شناوری آزاد جریان گاز می باشد.

به هر حال با مقایسه پروفیل سرعت برای دو حالت (Re=100 و Re=735)، در شکل‌های (۷) و (۸)، نشان می‌دهد که برای سرعت‌های کم ورودی گاز نیروی جابجایی شناوری نسبت به نیروی جابجایی اجباری گاز قویتر و سرعت‌های ثانویه بزرگتر می‌باشند. به عبارت دیگر با افزایش سرعت جریان گاز در کوره، به علت کاهش سرعت‌های ثانویه تغییر شکل می‌دهد زیرا افزایش سرعت سبب افزایش نیروی جابجایی اجباری و در نتیجه کاهش جریان جابجایی آزاد می‌گردد.

در نتیجه وجود جریان آزاد، گاز از خط قرینه در مرکز کوره به سمت جداره‌های جانبی حرکت کرده و سپس به علت وجود اختلاف درجه حرارت و تغییرات دانسیته در نزدیک جداره به سمت بالا حرکت کرده و نهایتاً در مرکز کوره از سمت بالا به پایین حرکت می‌کند. از طرف دیگر جریان اجباری سبب حرکت گاز در جهت طولی کوره می‌شود. ترکیب این دو نهایتاً، سبب تشکیل دو جریان چرخشی به صورت مارپیچ در منطقه واکنش می‌گردد، که اصطلاحاً آنها را سلول‌های مارپیچ می‌نامند. با افزایش بیشتر سرعت جریان گاز، قدرت این سلول‌ها کاهش یافته و مراکز سلول‌ها از خط قرینه دورتر می‌شوند.



شکل (۸): نتایج محاسبه شده از مدل عددی برای بردارهای سرعت ثانویه و کنتورهای سرعت‌های طولی، کنتورهای توزیع مول جزی و درجه حرارت برای عدد رینولد ۷۳۵

و جرم بسیار مفید می‌باشند. شکل‌های (۷) و (۸) چگونگی توزیع سرعت گاز، (بردارهای سرعت‌های ثانویه و کنتورهای سرعت طولی) و نحوه توزیع کنتورهای مول جزی CH_4 و درجه حرارت در داخل کوره را برای دو حالت بررسی شده (Re=100 و Re=735)، در فواصل طولی متفاوت نشان می‌هند. همانگونه که در این شکل‌ها مشخص است برای حالت Re=100 دو جریان گردشی مارپیچ در قسمت بالای سطح قطعه تشکیل می‌گردند. همچنین دو جریان برگشتی در ابتدای لبه منطقه واکنش و در بالای آن نزدیک گوشه‌ها در شکل (۷) به صورت خط‌چین به خوبی مشخص است. چون نتایج به دست آمده از مدل برای هر دو حالت نسبت به خط مرکزی کوره قرینه می‌باشند، در اینجا فقط نتایج محاسبه شده در نصف کوره آورده شده‌اند.

در شکل (۷)، کنتورهای درجه حرارت و مول جزی CH_4 در سمت راست آورده شده‌اند. بدین صورت که، تفاوت بین دو کنتور همسایه نشان‌دهنده گرادیان درجه حرارت یا مول جزی

بی دریغ، و اعطای امکانات مالی طبق قرارداد انجام پروژه به
شماره ۲۰۸۱ مورخ ۸۳/۹/۷ قدر دانی میگردد.

- نتیجه گیری

در این تحقیق یک مدل عددی از فرایند کربن دهی گازی در کوره پیوسته ارائه شد. مدل ارائه شده نشان داد که قابلیت پیشگویی نتایج خروجی از کوره را داشته و میتواند عملاً در تنظیم پارامترهای کترلی کوره موثر باشد. با استفاده از این مدل میتوان زمان تنظیم کوره را به حداقل ممکن رساند. همچنین این مدل در طراحی کوره و نیز پارامتر شکل هندسه کوره می‌تواند بسیار مفید باشد. از طرف دیگر مدل ارائه شده در دانش و فهم پدیده های انتقال بسیار مفید بوده و می‌تواند ابزار بسیار مفیدی در این امر تلقی گردد.

در کل مقدار گرادیان کربن محاسبه شده از مدل با مقدار کربن بدست آمده از کوره کربن دهی تطابق قابل قبولی دارد. مدل عددی توانایی خوبی در پیش گویی اثر درصد گاز طبیعی افزودنی داشته و چنانچه تغییراتی در آن روی دهد مدل بخوبی قادر به انجام محاسبه بوده و نتایج آن می‌تواند اثرات را نشان دهد.

هنگام مقایسه نتایج محاسبه شده از مدل ریاضی با نتایج بدست امده از آزمایش باید به این نکته توجه داشت که در تنظیم و به کارگیری کوره کربن دهی گاز ترانس هایی وجود دارد که در هنگام تحلیل نتایج باید در نظر گرفته شوند. به عنوان مثال ترانس ۹,۰ تا ۱,۱۵ میلیمتر برای عمق نفوذ سختی برای ۰,۴ درصد کربن در صورتی که هدف واقعی عدد یک میلیمتر است نشان از آن دارد که میزان اختلاف مدل عددی با نتایج واقعی که کمتر از ۱۵ درصد است قابل قبول می باشد. از طرف دیگر میزان کربن موجود در سطح نیز در حدود ۰,۷ الی ۰,۹ درصد میباشد که عدد واقعی باید ۰,۸ درصد باشد این امر نیز نشان از آن دارد که درصد کربن موجود در سطح محاسبه شده از مدل عددی کاملاً در محدوده باریک و قابل قبول ترانس قرار دارد.

- تشکر و قدر دانی

بدین وسیله از ریاست محترم دانشگاه آزاد مجلسی جناب آفای قیصریان و معاونت پژوهشی محترم به دلیل حمایت های

۹ - فهرست عالمی	
C _p	: ظرفیت گرمای ویژه
D _{ij}	: ضریب نفوذ دوتایی
D ^T	: ضریب نفوذ حرارتی
G	: سرعت رشد لایه
g	: شتاب جاذبه زمین
Gr	: عدد گراش
k	: ضریب هدایت
M	: وزن مولکولی
M _i	: وزن مولکولی عنصر i
P	: فشار
Pr	: عدد پرانتل
R	: ثابت گازها
Re	: عدد رینولد
Sc	: عدد اشمت
T	: درجه حرارت
v	: سرعت گاز
w _c	: جرم جزئی گاز
w _i	: مول جزئی از عنصر i
x _i	: مول جزئی از عنصر از فاز گازی
μ	: ویسکوزیته
τ	: تنسور تنش برشی
γ	: اسکیل فاکتور درجه حرارت
Φ _{ij}	: تابع معادله چاپمن-انسکوگ
p	: دانسیته
a ^T	: فاکتور نفوذ حرارتی

۱۰-مراجع

- Faghri, M., Sparrow, E. M., and Prata, S. T. "Finite Difference Solution of Convection Diffusion Problems in Irregular Domain Using Nonorthogonal Coordinate Transformation" Numerical Heat Transfer, Vol. 7, pp. 183-209, 1984. [۸]
- Lawal, A. "Laminar Flow and Heat Transfer to Variable Property Power-Law Fluids in Arbitrary Cross-Sectional Ducts" Ph. D. Thesis, McGill University, Montreal, Quebec, Canada, 1985. [۹]
- Shyy, W., Tong, S. S., and Correa, S. M. "Numerical Recirculating Flow Calculation Using a Body-Fitted Coordinate System" Numerical Heat Transfer, Vol. 8, pp. 99-113, 1985. [۱۰]
- Raithby, G. D., Galpin, P. F., and Van Doormal, G. P. "Prediction of Heat and Fluid Flow in Complex Geometries Using General Orthogonal Coordinates" Numerical Heat Transfer, Vol. 9, pp. 125-142, 1986. [۱۱]
- Karki, K. C., and Patankar, S. V. "Calculation Procedure for Viscous Incompressible Flow in Complex Geometry" Numerical Heat Transfer, Vol. 14, pp. 297-307, 1986. [۱۲]
- Colin, R., Gunnarson, S. and Thulin, D. "measuring the amount of carbon diffused in the gas carburizing process" J. Iron Steel Inst." vol. 210 pp. 777-84, 1972. [۱]
- Stickels, C.A. " Analytical models for gas carburizing process", Metallurgical Transaction B, Vol. 20B pp. 535-546, 1989. [۲]
- Parrish, G. and Harper, G. S. "Production Gas Carburizing" Pergamon Press, Oxford, United Kingdom, 1985. [۳]
- "Handbook of Chemistry and Physics" 72th edition, CRC press, Boca Raton, FL, 2003. [۴]
- Colin, R., Gunnarson, S. and Thulin, D. "carbon potential measurements in the gas carburizing process" J. Iron Steel Inst.", vol. 210 pp. 785-89, 1972. [۵]
- Bird, R.B., Steward, W.E. and Lightfoot, E.N. "Transport Phenomena" John Wiley, New York, 2003 [۶]
- Vanka, S. P., Chen, B. C. J. and Shah, W. D."A Semi-Implicit Calculation Procedure for Flows Described in Boundary-Fitted Coordinate Systems" Numerical Heat Transfer, Vol. 3, pp. 1-19, 1980. [۷]

